

# 人工色荷电 PG 玻色子对 B 介子衰变中 $\eta'$ 单举产率的增强 \*

鲁公儒 肖振军 郭宏凯 吕林霞

(河南师范大学物理系 新乡 453002)

**摘要** 计算了人工色荷电 PG 玻色子  $\pi_1^\pm$  和  $\pi_8^\pm$  对稀有衰变过程  $B \rightarrow \eta' X_s$  中  $\eta'$  单举产率的贡献. 计算结果表明: QCD 胶子反常和人工色新物理贡献能够提供较大的分枝比, 以解释 CLEO 实验结果.

**关键词** B 介子稀有衰变 荷电 PG 玻色子 QCD 胶子反常

## 1 引言

最近美国 CLEO 实验组发现, 在 B 介子衰变中  $\eta'$  有很高的单举产率, 其分枝比为<sup>[1]</sup>

$$Br(B \rightarrow \eta' X_s; 2.0 \text{ GeV} \leq E_{\eta'} \leq 2.7 \text{ (GeV)}) = (6.2 \pm 1.6 \pm 1.3) \times 10^{-4}, \quad (1)$$

该实验值远高于原来的标准模型理论期望值<sup>[2]</sup>. 根据目前已有的相关讨论<sup>[2-7]</sup>, 下述各点已基本清楚:

- Atwood 和 Soni 认为<sup>[3]</sup>,  $\eta'$  的高单举产率可能是由于增强的  $b \rightarrow sg^* \rightarrow s\eta' g$  过程造成的. 当考虑 QCD 胶子反常时, 如果把  $gg^*\eta'$  顶角耦合因子  $H(k^2, q^2, m_{\eta'}^2)$  取为常数, 则可以给出和(1)式相符的结果. 但 Hou 和 Tseng<sup>[4]</sup>指出, 如果考虑  $\alpha_s$  的跑动对顶角耦合因子  $H$  的影响, 那么文献[3]中给出的理论预言值将降低为原来的 1/3, 因此应当考虑新物理对  $b \rightarrow sg$  的增强.

- Kagan 和 Petrov<sup>[5]</sup>指出, 应当考虑  $gg^*\eta'$  耦合对压低因子  $m_{\eta'}^2 / (q^2 - m_{\eta'}^2)$  的依赖性, 这样文献[3]给出的理论预言值将降低为  $\sim 1.6 \times 10^{-5}$ , 仅为实验值的大约 1/30. 这样新物理的贡献或其它机制的影响就变得非常重要.

- 袁烽和赵光达指出<sup>[6]</sup>, 在标准模型框架内, 有可能通过  $b \rightarrow (c\bar{c})_8 s$  衰变和  $(c\bar{c})_8 \rightarrow \eta' X$  两个过程来解释 CLEO 实验结果.

- CLEO 实验组测量了不变质量谱  $M(X_s)$  的分布<sup>[1]</sup>, 发现峰值出现在  $M(X_s) \geq 2 \text{ GeV}$  的

1998-10-05 收稿

\* 国家自然科学基金资助项目 (19575015, 19775012)

区域, 与  $b \rightarrow sg^* \rightarrow sgn'$  三体末态分布相符合.

由标准模型因子化近似. 考虑旁观夸克的非旁观效应<sup>[7]</sup>, 大体上可以解释较大的遍举分枝比  $Br(B \rightarrow \eta' K^\pm)$ <sup>[1]</sup>. 但相关计算仍然有较大的误差. 另外, 根据文献 [5] 的讨论, 对短距离的  $b \rightarrow \eta' sg$  过程的新物理贡献基本上不影响  $\eta'$  的遍举产率.

综上所述, 如果考虑压低因子  $m_{\eta'}^2 / (q^2 - m_{\eta'}^2)$  对  $\eta'$  单举产率的影响, 新物理的影响就变得非常重要. 文中我们将在人工色 (Technicolor) 理论框架下计算色单态和色八重态荷电 PG 玻色子  $\pi_1$  和  $\pi_8$  通过单圈电弱企鹅图对  $B \rightarrow \eta' X_s$  衰变过程的贡献. 计算结果表明,  $\pi_1$  和  $\pi_8$  可以提供一个较大的增强以解释 CLEO 实验结果.

在第二节, 将计算包含  $\pi_1$  和  $\pi_8$  内线传播子的电弱企鹅图, 抽出形状因子  $F_1^{\text{New}}$  和  $F_2^{\text{New}}$ . 在第三节, 将给出数值计算结果并进行简短的讨论.

## 2 标准模型和人工色模型中的形状因子 $F_1$ 和 $F_2$

在标准模型理论框架下, 由单圈企鹅图引起的  $bsg$  有效耦合为<sup>[8]</sup>

$$\Gamma_\mu^{\text{SM}} = g_s \frac{G_F}{4\sqrt{2} \pi^2} \lambda_i \bar{s} T^a [F_1(x_i)(q^2 \gamma_\mu - q_\mu \not{q}) - i F_2(x_i) \sigma_{\mu\nu} q^\nu (m_s L + m_b R)] b, \quad (2)$$

其中  $g_s$  是 QCD 耦合常数,  $\lambda_i = V_{is}^* V_{ib}$ ,  $T^a = \lambda^a / 2$ ,  $\lambda^a$  是 Gell-Mann 矩阵,  $q = p_b - p_s$ . 形状因子  $F_1(x_i)$  和  $F_2(x_i)$  ( $i = u, c, t$ ) 的表达式为:

$$F_1(x_i) = \frac{x_i}{12} [y_i + 13y_i^2 - 6y_i^3] + \left[ \frac{2y_i}{3} - \frac{x_i}{6} (4y_i^2 + 5y_i^3 - 3y_i^4) \right] \ln[x_i], \quad (3)$$

$$F_2(x_i) = -\frac{x_i}{4} [-y_i + 3y_i^2 + 6y_i^3] + \frac{3x_i^2 y_i^4}{2} \ln[x_i], \quad (4)$$

其中  $x_i = m_i^2 / M_W^2$  ( $i = u, c, t$ ),  $y_i = 1 / (x_i - 1)$ .

在人工色理论框架下<sup>[9]</sup>, 非最小的人工色模型均包含色单态和色八重态荷电 PG 玻色子  $\pi_1$  和  $\pi_8$ , 荷电 PG 玻色子与规范玻色子 ( $\gamma, Z, \text{gluon}$ ) 的规范耦合由其量子数确定, 是普遍的. 荷电 PG 玻色子参与的有效 Yukawa 耦合是模型相关的, 其一般形式已在文献 [10] 中给出. 把标准模型框架下单圈企鹅图中的 W 玻色子换成  $\pi_1$  和  $\pi_8$ , 做解析计算得到由荷电 PG 玻色子  $\pi_1$  和  $\pi_8$  引起的有效  $bsg$  顶角耦合为:

$$\Gamma_\mu^{\text{New}} = g_s \frac{G_F}{4\sqrt{2} \pi^2} \lambda_i \bar{s} T^a [F_1^{\text{New}}(q^2 \gamma_\mu - q_\mu \not{q}) - i F_2^{\text{New}} \sigma_{\mu\nu} q^\nu (m_s L + m_b R)] b, \quad (5)$$

其中  $\lambda_i = V_{is}^* V_{ib}$ , 形状因子  $F_1^{\text{New}}$  和  $F_2^{\text{New}}$  为:

$$F_1^{\text{New}}(x_i, y_i) = \frac{D'(x_i)}{3\sqrt{2} G_F F_\pi^2} + \frac{8D'(y_i)}{3\sqrt{2} G_F F_\pi^2}, \quad (6)$$

$$F_2^{\text{New}}(x_i, y_i) = - \left[ \frac{D(x_i)}{3\sqrt{2} G_F F_\pi^2} + \frac{8D(y_i) + E(y_i)}{3\sqrt{2} G_F F_\pi^2} \right], \quad (7)$$

$$D(x) = \frac{-5 + 19x - 20x^2}{24(1-x)^3} + \frac{x^2 - 2x^3}{4(1-x)^4} \ln[x] , \quad (8)$$

$$D'(x) = \frac{7 - 29x + 16x^2}{72(1-x)^3} + \frac{3x^2 - 2x^3}{12(1-x)^4} \ln[x] , \quad (9)$$

$$E(y) = \frac{12 - 15y - 5y^2}{8(1-y)^3} + \frac{9y - 18y^2}{4(1-y)^4} \ln[y] , \quad (10)$$

其中  $x_i = m_{p_1}^2 / m_i^2$ ,  $y_i = m_{p_8}^2 / m_i^2$  ( $i = u, c, t$ ),  $m_{p_1}$  和  $m_{p_8}$  表示  $\pi_1$  和  $\pi_8$  的质量,  $G_F = 1.16639 \times 10^{-5} (\text{GeV})^{-2}$  是费米耦合常数. 在一代人工色模型下<sup>[9]</sup>,  $F_\pi = 123 \text{ GeV}$ . 在其它人工色模型下,  $F_\pi$  的数值将减小. 把式(5)中的  $\Gamma_\mu^{\text{New}}$  和(2)式中的  $\Gamma_\mu^{\text{SM}}$  加以比较, 可以看出  $F_1^{\text{New}}$  和  $F_2^{\text{New}}$  与标准模型中的  $F_1$  和  $F_2$  相对应. 新的形状因子表示荷电 PG 玻色子通过企鹅图对 bsg 有效顶角的贡献.

### 3 数值计算结果与讨论

在数值计算中, 使用文献[4]所给公式,

$$\frac{d^2 Br(b \rightarrow \eta' sg)}{dxdy} = 0.2 \left[ \frac{g_s(m_b)}{4\pi^2} \right]^2 \frac{a_g^2 m_b^2}{4} \left[ |\Delta F_1|^2 c_0 + \text{Re}(\Delta F_1 F_2^*) \frac{c_1}{y} + |F_2|^2 \frac{c_2}{y^2} \right], \quad (11)$$

其中已取  $(V_{cb}^2 G_F^2 m_b^2) / (192\pi^3) \approx 0.2 \Gamma_B$  (见文献[3]). 系数  $c_0$ ,  $c_1$  和  $c_2$  为:

$$\begin{aligned} c_0 &= [-2x^2y + (1-y)(y-x')(2x+y-x')] / 2, \\ c_1 &= -(1-y)(y-x')^2, \\ c_2 &= [2x^2y^2 - (1-y)(y-x')(2xy-y+x')] / 2 , \end{aligned} \quad (12)$$

其中  $x = m^2 / m_b^2$ ,  $m$  是与  $\eta'$  相关的反冲质量,  $y = q^2 / m_b^2$  ( $q = p_b - p_s$ ),  $x' = m_{\eta'}^2 / m_b^2$ .  $\Delta F_1 = F_1(x) - F_1(x_0)$ . 因子  $a_g = \sqrt{N_f} \alpha_s(\mu) / (\pi f_{\eta'})$  是有效 QCD 反常耦合<sup>[3]</sup>,  $f_{\eta'} = 131 \text{ MeV}$ . 对  $\alpha_s(\mu)$  的跑动使用双圈表达式.

计算结果表明, 色八重态的  $\pi_8$  对新物理贡献起主要作用, 色单态的  $\pi_1$  的影响较小. 在数值计算中取:  $m_t = 180 \text{ GeV}$ ,  $m_w = 80.2 \text{ GeV}$ ,  $m_c = 1.4 \text{ GeV}$ ,  $m_b = 4.5 \text{ GeV}$ ,  $m_{p_1} = 100 \text{ GeV}$ ,  $m_{p_8} = 250 - 600 \text{ GeV}$ . 经计算得到,  $F_2^{\text{SM}}(m_t) = 0.2$ ,  $\Delta F_1^{\text{SM}} = -5.25$ ,  $\Delta F_1^{\text{New}} = -4.5$ ,  $F_2^{\text{New}} = -8.2 \sim -0.7$ .

对  $\eta'$  单举产生的分枝比  $Br(B \rightarrow \eta' X_s)$ , 本文考虑两种不同情况.

对第一种情况, 只考虑  $\alpha_s$  跑动效应和荷电 PG 玻色子的贡献. 若只考虑  $\alpha_s$  跑动, 可得  $Br(B \rightarrow \eta' X_s) = 3.4 \times 10^{-4}$  (如图1中点线). 图1中两条短划线之间的区域对应 CLEO 实验数据, 实线表示包含了 PG 玻色子贡献以后分枝比  $Br(B \rightarrow \eta' X_s)$  对  $m_{p_8}$  的依赖关系. 当取  $m_{p_1} = 100 \text{ GeV}$ ,  $m_{p_8} = 250 - 600 \text{ GeV}$  时,  $Br(B \rightarrow \eta' X_s) = (48.9 - 5.7) \times 10^{-4}$ , 理论预言值可以和 CLEO 实验结果符合的很好. 色单态 PG 玻色子的贡献只占总贡献的大约 10%.

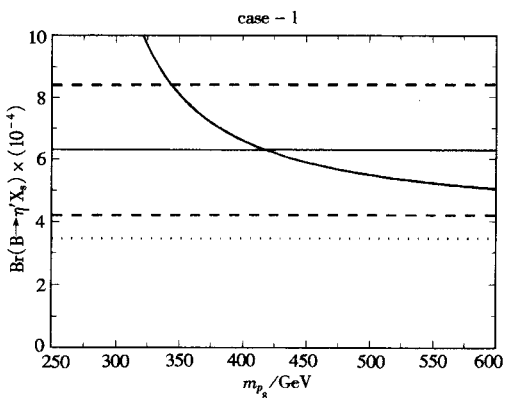


图 1 考虑  $\alpha_s$  跑动效应和荷电 PG 玻色子贡献时分枝比  $Br(B \rightarrow \eta' X_s)$  对  $m_{p_8}$  的依赖关系

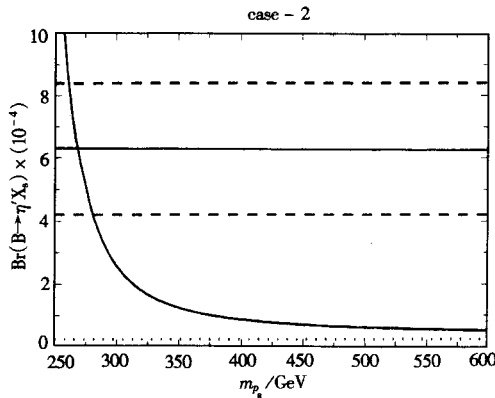


图 2 考虑压低因子  $m_{\eta'}^2 / (q^2 - m_{\eta'}^2)$  的影响和荷电 PG 玻色子贡献时分枝比  $Br(B \rightarrow \eta' X_s)$  对  $m_{p_8}$  的依赖关系

对第二种情况, 考虑压低因子  $m_{\eta'}^2 / (q^2 - m_{\eta'}^2)$  的影响和荷电 PG 玻色子的贡献. 若只考虑  $m_{\eta'}^2 / (q^2 - m_{\eta'}^2)$  的影响, 那么有  $Br(B \rightarrow \eta' X_s) = 2.3 \times 10^{-5}$  ( $2.0 \text{ GeV} \leq E_{\eta'} \leq 2.7 \text{ GeV}$ ), 比 CLEO 数据低一个量级. 如果包含 PG 玻色子贡献(如图 2 所示), 可以得到与 CLEO 实验符合的理论预言值. 当取  $m_{p_1} = 100 \text{ GeV}$ ,  $m_{p_8} = 250 - 600 \text{ GeV}$  时,  $Br(B \rightarrow \eta' X_s) = (15.2 - 0.7) \times 10^{-4}$  ( $2.0 \text{ GeV} \leq E_{\eta'} \leq 2.7 \text{ GeV}$ ). 与第一种情况相同, 色八重态 PG 玻色子的贡献起主要作用.

由上述计算可以看出,  $gg^* \eta'$  反常耦合因子  $H(k^2, q^2, m_{\eta'}^2)$  的大小和性质对解释  $\eta'$  高单举产率起着关键的作用. 但对  $H$  因子的大小及其对  $q^2$  的依赖性质目前仍有较多的争论. 如果目前关于  $\alpha_s$  和压低因子  $m_{\eta'}^2 / (q^2 - m_{\eta'}^2)$  影响的理论估计是基本合理的, 那么新物理的贡献对解释 CLEO 实验结果将起关键作用. 另外根据目前的讨论, 在 TeV 能标的 new physics 对  $b\bar{s}g$  耦合的增强与其对电偶极  $b\bar{s}\gamma$  有效耦合的增强并不矛盾<sup>[11]</sup>. 作者将在另一篇论文中考虑 CLEO 实验数据  $Br(b \rightarrow sg) < 6.8\%$ <sup>[12]</sup> 对人工色模型的限制.

作者在人工色模型框架下计算了荷电 PG 玻色子  $\pi_1$  和  $\pi_8$  对  $\eta'$  单举产生过程分枝比  $Br(B \rightarrow \eta' X_s)$  的贡献. 数值计算表明, 可以在人工色理论框架下对 CLEO 发现的  $\eta'$  高单举产率给出一种简单的新物理解释. 如图 1 和图 2 所示, 在所考虑的两种情况下, 荷电 PG 玻色子均可以给出所需要的增强, 以解释 CLEO 实验结果. 尤其是第二种情况, 新物理贡献对解释 CLEO 实验结果起着重要作用.

作者感谢和杜东生教授, 赵光达教授, 杨亚东博士进行的讨论.

## 参考文献

- 1 CLEO Collaboration, Browder T E et al. phys. Rev. Lett., 1998, **81**:1786
- 2 Halperin I, Zhitnitsky A. Phys. Rev. Lett., 1998, **80**:438; Halperin I, Zhitnitsky A, Phys. Rev., 1997, **D56**:7247
- 3 Atwood D D, Soni A, Phys. Lett., 1997, **B405**:150; Fritzsch H. Phys. Lett. 1997, **B415**:83
- 4 Hou W S, Tseng B. Phys. Rev. Lett., 1997, **80**:434
- 5 Kagan A L, Petrov A A. hep-ph / 9707354
- 6 Yuan F, Chao K T. Phys. Rev., 1997, **D56**:R2459
- 7 Du D S, Kim C S, Yang Y D. Phys. Lett., 1998, **B426**:133; Ahmady M R, Kou E, Sugamoto A. Phys. Rev., 1998, **D58**:014015
- 8 Hou W S. Nucl. Phys., 1988, **B308**:561
- 9 Farhi E, Susskind L. Phys. Rev., 1979 **D20**:3404
- 10 Ellis J, Gailaard M K, Nanopoulos D V et al. Nucl. Phys. 1981, **B187**:541; Eichten E, Hinchliffe I, Lane K et al. Rev. Mod. Phys., 1984, **56**:579; Phys. Rev., 1986, **D34**:1547; For the Current status of Technicolor Theories see paper: K. Lane, ICHEP96, 1996, 367—378
- 11 Lü C D, Xiao Z J. Phys. Rev. 1996, **D53**:2529
- 12 CLEO Collaboration, Coan T E et al. Phys. Rev. Lett., 1998, **80**:1150

### Inclusive $\eta'$ Production in B Decays and the Enhancement Due to Charged Technipions\*

Lu Gongru    Xiao Zhenjun    Guo Hongkai    Lü Linxia

(Department of Physics, Henan Normal University, Xinxiang, 453002)

**Abstract** We calculate the new contributions to the charmless B decay  $B \rightarrow X_s \eta'$  via the QCD gluon anomaly and the enhanced  $b \rightarrow sg$  decay due to the charged technipions appeared in Technicolor Model. Within the considered parameter space the new physics contribution can result in a large enhancement to the inclusive  $\eta'$  production and in turn to account for the CLEO data of  $Br(B \rightarrow \eta' X_s)$ .

**Key words** rare B-decays, charged PG bosons, QCD gluon anomaly

Received 5 October 1998

\* Project (19575015, 19775012) Supported by National Natural Science Foundation of China